

Teoremas integrales y campos vectoriales

Luis A. Núñez

*Escuela de Física, Facultad de Ciencias,
Universidad Industrial de Santander, Santander, Colombia*



22 de febrero de 2022

- 1 Integrales de línea
 - Integrales de línea $\int_C \phi \, d\mathbf{r}$
 - Integrales de línea $\int_C \mathbf{A} \cdot d\mathbf{r}$ y $\int_C \mathbf{A} \times d\mathbf{r}$
- 2 Integrales de superficie
- 3 Teorema de Gauss
 - Teorema de Gauss y campo eléctrico
 - Discontinuidades y densidades superficiales de carga
- 4 Teorema de Stokes
- 5 Recapitulando

Integrales de línea $\int_C \phi \, d\mathbf{r}$

- Dentro del grupo de las integrales de línea encontraremos:
 $\int_C \phi \, d\mathbf{r}$, $\int_C \mathbf{A} \cdot d\mathbf{r}$ y $\int_C \mathbf{A} \times d\mathbf{r}$

- Dentro del grupo de las integrales de línea encontraremos:
 $\int_C \phi \, d\mathbf{r}$, $\int_C \mathbf{A} \cdot d\mathbf{r}$ y $\int_C \mathbf{A} \times d\mathbf{r}$
- Hay que especificar las curvas C , las trayectorias, para la integración.

- Dentro del grupo de las integrales de línea encontraremos:
 $\int_C \phi \, d\mathbf{r}$, $\int_C \mathbf{A} \cdot d\mathbf{r}$ y $\int_C \mathbf{A} \times d\mathbf{r}$
- Hay que especificar las curvas C , las trayectorias, para la integración.
- Trayectorias, abiertas/cerradas dependen de la curva de integración.

- Dentro del grupo de las integrales de línea encontraremos:
 $\int_C \phi \, d\mathbf{r}$, $\int_C \mathbf{A} \cdot d\mathbf{r}$ y $\int_C \mathbf{A} \times d\mathbf{r}$
- Hay que especificar las curvas C , las trayectorias, para la integración.
- Trayectorias, abiertas/cerradas dependen de la curva de integración.
- La curva puede estar representada en forma paramétrica y el valor de la integral puede depender del camino.

- Dentro del grupo de las integrales de línea encontraremos:
 $\int_C \phi \, d\mathbf{r}$, $\int_C \mathbf{A} \cdot d\mathbf{r}$ y $\int_C \mathbf{A} \times d\mathbf{r}$
- Hay que especificar las curvas C , las trayectorias, para la integración.
- Trayectorias, abiertas/cerradas dependen de la curva de integración.
- La curva puede estar representada en forma paramétrica y el valor de la integral puede depender del camino.
- Para integrales del tipo $\int_C \phi(\mathbf{r}) d\mathbf{r}$, en coordenadas cartesianas,
 $\int_C \phi(x, y, z) \, d\mathbf{r} = \int_C \phi(x, y, z) (dx\mathbf{i} + dy\mathbf{j} + dz\mathbf{k})$.

- Dentro del grupo de las integrales de línea encontraremos:
 $\int_C \phi \, d\mathbf{r}$, $\int_C \mathbf{A} \cdot d\mathbf{r}$ y $\int_C \mathbf{A} \times d\mathbf{r}$
- Hay que especificar las curvas C , las trayectorias, para la integración.
- Trayectorias, abiertas/cerradas dependen de la curva de integración.
- La curva puede estar representada en forma paramétrica y el valor de la integral puede depender del camino.
- Para integrales del tipo $\int_C \phi(\mathbf{r}) d\mathbf{r}$, en coordenadas cartesianas,
 $\int_C \phi(x, y, z) \, d\mathbf{r} = \int_C \phi(x, y, z) (dx\mathbf{i} + dy\mathbf{j} + dz\mathbf{k})$.
- En coordenadas generalizadas, el elemento diferencial de línea a lo largo de una curva q^i es $d\mathbf{r}_i = h_i \hat{\mathbf{e}}_i dq^i$, por lo tanto:
$$d\mathbf{r} = \sum_{i=1}^3 d\mathbf{r}_i = \sum_{i=1}^3 h_i \hat{\mathbf{e}}_i dq^i, \text{ con } \hat{\mathbf{e}}_i = \frac{1}{h_i} \frac{\partial \mathbf{r}}{\partial q^i}, \quad h_i = \left\| \frac{\partial \mathbf{r}}{\partial q^i} \right\|.$$

- Dentro del grupo de las integrales de línea encontraremos:
 $\int_C \phi \, d\mathbf{r}$, $\int_C \mathbf{A} \cdot d\mathbf{r}$ y $\int_C \mathbf{A} \times d\mathbf{r}$
- Hay que especificar las curvas C , las trayectorias, para la integración.
- Trayectorias, abiertas/cerradas dependen de la curva de integración.
- La curva puede estar representada en forma paramétrica y el valor de la integral puede depender del camino.
- Para integrales del tipo $\int_C \phi(\mathbf{r}) d\mathbf{r}$, en coordenadas cartesianas,
 $\int_C \phi(x, y, z) \, d\mathbf{r} = \int_C \phi(x, y, z) (dx\mathbf{i} + dy\mathbf{j} + dz\mathbf{k})$.
- En coordenadas generalizadas, el elemento diferencial de línea a lo largo de una curva q^i es $d\mathbf{l}_i = h_i \hat{\mathbf{e}}_i dq^i$, por lo tanto:
$$d\mathbf{r} = \sum_{i=1}^3 d\mathbf{l}_i = \sum_{i=1}^3 h_i \hat{\mathbf{e}}_i dq^i, \text{ con } \hat{\mathbf{e}}_i = \frac{1}{h_i} \frac{\partial \mathbf{r}}{\partial q^i}, \quad h_i = \left\| \frac{\partial \mathbf{r}}{\partial q^i} \right\|.$$
- En esféricas es: $d\mathbf{l}_r = \hat{\mathbf{e}}_r dr$, $d\mathbf{l}_\theta = \hat{\mathbf{e}}_\theta r d\theta$ y $d\mathbf{l}_\varphi = \hat{\mathbf{e}}_\varphi r \sin(\theta) d\varphi$,
En cilíndricas $d\mathbf{l}_\rho = \hat{\mathbf{e}}_\rho d\rho$, $d\mathbf{l}_\varphi = \hat{\mathbf{e}}_\varphi \rho d\varphi$ y $d\mathbf{l}_z = \hat{\mathbf{e}}_z dz$.

- Dentro del grupo de las integrales de línea encontraremos:
 $\int_C \phi \, d\mathbf{r}$, $\int_C \mathbf{A} \cdot d\mathbf{r}$ y $\int_C \mathbf{A} \times d\mathbf{r}$
- Hay que especificar las curvas C , las trayectorias, para la integración.
- Trayectorias, abiertas/cerradas dependen de la curva de integración.
- La curva puede estar representada en forma paramétrica y el valor de la integral puede depender del camino.
- Para integrales del tipo $\int_C \phi(\mathbf{r}) d\mathbf{r}$, en coordenadas cartesianas,
 $\int_C \phi(x, y, z) \, d\mathbf{r} = \int_C \phi(x, y, z) (dx\mathbf{i} + dy\mathbf{j} + dz\mathbf{k})$.
- En coordenadas generalizadas, el elemento diferencial de línea a lo largo de una curva q^i es $d\mathbf{l}_i = h_i \hat{\mathbf{e}}_i dq^i$, por lo tanto:
$$d\mathbf{r} = \sum_{i=1}^3 d\mathbf{l}_i = \sum_{i=1}^3 h_i \hat{\mathbf{e}}_i dq^i, \text{ con } \hat{\mathbf{e}}_i = \frac{1}{h_i} \frac{\partial \mathbf{r}}{\partial q^i}, \quad h_i = \left\| \frac{\partial \mathbf{r}}{\partial q^i} \right\|.$$
- En esféricas es: $d\mathbf{l}_r = \hat{\mathbf{e}}_r dr$, $d\mathbf{l}_\theta = \hat{\mathbf{e}}_\theta r d\theta$ y $d\mathbf{l}_\varphi = \hat{\mathbf{e}}_\varphi r \sin(\theta) d\varphi$,
En cilíndricas $d\mathbf{l}_\rho = \hat{\mathbf{e}}_\rho d\rho$, $d\mathbf{l}_\varphi = \hat{\mathbf{e}}_\varphi \rho d\varphi$ y $d\mathbf{l}_z = \hat{\mathbf{e}}_z dz$.
- En general: $\int_C \phi(\mathbf{r}) d\mathbf{r} = \int_C \phi(\mathbf{r}(q^j)) \left(\sum_{i=1}^3 h_i \hat{\mathbf{e}}_i dq^i \right)$

Integrales de línea $\int_C \mathbf{A} \cdot d\mathbf{r}$ y $\int_C \mathbf{A} \times d\mathbf{r}$

- La segunda familia de integrales de línea otro escalar: $\int_C \mathbf{A} \cdot d\mathbf{r}$. Otra vez en coordenadas cartesianas resulta
$$\int_C \mathbf{A} \cdot d\mathbf{r} = \int_C [A_x(x, y, z)\mathbf{i} + A_y(x, y, z)\mathbf{j} + A_z(x, y, z)\mathbf{k}] \cdot [dx\mathbf{i} + dy\mathbf{j} + dz\mathbf{k}] \Rightarrow$$
$$\int_C \mathbf{A} \cdot d\mathbf{r} = \int_C A_x(x, y(x), z(x))dx + \int_C A_y(x, y, z)dy + \int_C A_z(x, y, z)dz .$$

Integrales de línea $\int_C \mathbf{A} \cdot d\mathbf{r}$ y $\int_C \mathbf{A} \times d\mathbf{r}$

- La segunda familia de integrales de línea otro escalar: $\int_C \mathbf{A} \cdot d\mathbf{r}$. Otra vez en coordenadas cartesianas resulta $\int_C \mathbf{A} \cdot d\mathbf{r} = \int_C [A_x(x, y, z)\mathbf{i} + A_y(x, y, z)\mathbf{j} + A_z(x, y, z)\mathbf{k}] \cdot [dx\mathbf{i} + dy\mathbf{j} + dz\mathbf{k}] \Rightarrow$
 $\int_C \mathbf{A} \cdot d\mathbf{r} = \int_C A_x(x, y, z)dx + \int_C A_y(x, y, z)dy + \int_C A_z(x, y, z)dz .$
- Cuando el contorno cerrado, tenemos $\oint_C \mathbf{A} \cdot d\mathbf{r}$, la *circulación* del campo vectorial \mathbf{A} a lo largo del contorno C .

Integrales de línea $\int_C \mathbf{A} \cdot d\mathbf{r}$ y $\int_C \mathbf{A} \times d\mathbf{r}$

- La segunda familia de integrales de línea otro escalar: $\int_C \mathbf{A} \cdot d\mathbf{r}$. Otra vez en coordenadas cartesianas resulta $\int_C \mathbf{A} \cdot d\mathbf{r} = \int_C [A_x(x, y, z)\mathbf{i} + A_y(x, y, z)\mathbf{j} + A_z(x, y, z)\mathbf{k}] \cdot [dx\mathbf{i} + dy\mathbf{j} + dz\mathbf{k}] \Rightarrow$
 $\int_C \mathbf{A} \cdot d\mathbf{r} = \int_C A_x(x, y, z)dx + \int_C A_y(x, y, z)dy + \int_C A_z(x, y, z)dz.$
- Cuando el contorno cerrado, tenemos $\oint_C \mathbf{A} \cdot d\mathbf{r}$, la *circulación* del campo vectorial \mathbf{A} a lo largo del contorno C .
- En coordenadas curvilíneas generalizadas $\int_C \mathbf{A} \cdot (d\mathbf{r}) = \int_C \mathbf{A}(\mathbf{r}(q^i)) \cdot \left(\sum_{i=1}^3 h_i \hat{\mathbf{e}}_i dq^i\right)$, resulta que $\int_C \mathbf{A}(\mathbf{r}) \cdot d\mathbf{r} =$
 $\int_C A_{q^1}(q^1, q^2, q^3)h_1 dq^1 + \int_C A_{q^2}(q^1, q^2, q^3)h_2 dq^2 + \int_C A_{q^3}(q^1, q^2, q^3)h_3 dq^3.$

- La segunda familia de integrales de línea otro escalar: $\int_C \mathbf{A} \cdot d\mathbf{r}$. Otra vez en coordenadas cartesianas resulta $\int_C \mathbf{A} \cdot d\mathbf{r} = \int_C [A_x(x, y, z)\mathbf{i} + A_y(x, y, z)\mathbf{j} + A_z(x, y, z)\mathbf{k}] \cdot [dx\mathbf{i} + dy\mathbf{j} + dz\mathbf{k}] \Rightarrow$
 $\int_C \mathbf{A} \cdot d\mathbf{r} = \int_C A_x(x, y, z)dx + \int_C A_y(x, y, z)dy + \int_C A_z(x, y, z)dz.$
- Cuando el contorno cerrado, tenemos $\oint_C \mathbf{A} \cdot d\mathbf{r}$, la *circulación* del campo vectorial \mathbf{A} a lo largo del contorno C .
- En coordenadas curvilíneas generalizadas $\int_C \mathbf{A} \cdot (d\mathbf{r}) = \int_C \mathbf{A}(\mathbf{r}(q^i)) \cdot \left(\sum_{i=1}^3 h_i \hat{\mathbf{e}}_i dq^i \right)$, resulta que $\int_C \mathbf{A}(\mathbf{r}) \cdot d\mathbf{r} =$
 $\int_C A_{q^1}(q^1, q^2(q^1), q^3(q^1))h_1 dq^1 + \int_C A_{q^2}(q^1(q^2), q^2, q^3(q^2))h_2 dq^2 + \int_C A_{q^3}(q^1(q^3), q^2(q^3), q^3)h_3 dq^3.$
- Algo similar ocurre con las integrales que contienen el producto vectorial. $\int_C \mathbf{A} \times d\mathbf{r}$. En coordenadas cartesianas sería $\int_C \mathbf{A} \times d\mathbf{r} = \int_C [A_x(x, y, z)\mathbf{i} + A_y(x, y, z)\mathbf{j} + A_z(x, y, z)\mathbf{k}] \times [dx\mathbf{i} + dy\mathbf{j} + dz\mathbf{k}]$ y formalmente en coordenadas curvilíneas generalizadas $\int_C \mathbf{A} \times d\mathbf{r} = \left(\int_C A_j dx_k \epsilon^{ijk} \right) |\mathbf{e}_k\rangle \equiv \left(\int_C \tilde{A}_j h_i dq^i \tilde{\epsilon}^{ijk} \right) |\tilde{\mathbf{e}}_k\rangle$

Integrales de línea $\int_C \mathbf{A} \cdot d\mathbf{r}$ y $\int_C \mathbf{A} \times d\mathbf{r}$

- La segunda familia de integrales de línea otro escalar: $\int_C \mathbf{A} \cdot d\mathbf{r}$. Otra vez en coordenadas cartesianas resulta $\int_C \mathbf{A} \cdot d\mathbf{r} = \int_C [A_x(x, y, z)\mathbf{i} + A_y(x, y, z)\mathbf{j} + A_z(x, y, z)\mathbf{k}] \cdot [dx\mathbf{i} + dy\mathbf{j} + dz\mathbf{k}] \Rightarrow$
 $\int_C \mathbf{A} \cdot d\mathbf{r} = \int_C A_x(x, y, z)dx + \int_C A_y(x, y, z)dy + \int_C A_z(x, y, z)dz.$
- Cuando el contorno cerrado, tenemos $\oint_C \mathbf{A} \cdot d\mathbf{r}$, la *circulación* del campo vectorial \mathbf{A} a lo largo del contorno C .
- En coordenadas curvilíneas generalizadas $\int_C \mathbf{A} \cdot (d\mathbf{r}) = \int_C \mathbf{A}(\mathbf{r}(q^i)) \cdot \left(\sum_{i=1}^3 h_i \hat{\mathbf{e}}_i dq^i \right)$, resulta que $\int_C \mathbf{A}(\mathbf{r}) \cdot d\mathbf{r} =$
 $\int_C A_{q^1}(q^1, q^2(q^1), q^3(q^1))h_1 dq^1 + \int_C A_{q^2}(q^1(q^2), q^2, q^3(q^2))h_2 dq^2 + \int_C A_{q^3}(q^1(q^3), q^2(q^3), q^3)h_3 dq^3.$
- Algo similar ocurre con las integrales que contienen el producto vectorial. $\int_C \mathbf{A} \times d\mathbf{r}$. En coordenadas cartesianas sería $\int_C \mathbf{A} \times d\mathbf{r} = \int_C [A_x(x, y, z)\mathbf{i} + A_y(x, y, z)\mathbf{j} + A_z(x, y, z)\mathbf{k}] \times [dx\mathbf{i} + dy\mathbf{j} + dz\mathbf{k}]$ y formalmente en coordenadas curvilíneas generalizadas $\int_C \mathbf{A} \times d\mathbf{r} = \left(\int_C A_j dx_k \epsilon^{ijk} \right) |\mathbf{e}_k\rangle \equiv \left(\int_C \tilde{A}_j h_i dq^i \tilde{\epsilon}^{ijk} \right) |\tilde{\mathbf{e}}_k\rangle$
- Podemos construir un sistema de coordenadas adaptado a la representación paramétrica de una curva y entonces las integrales de línea se especifican a través del parámetro. Si el conjunto de coordenadas es el cartesiano $x = f(\lambda)$, $y = g(\lambda)$ y $z = h(\lambda)$. Las componentes del vector desplazamiento, para el $d\mathbf{r}$ serán $dx = f'(\lambda)d\lambda$, $dy = g'(\lambda)d\lambda$ y $dz = h'(\lambda)d\lambda$, mientras que las componentes del campo vectorial $\mathbf{A}(x^i) \Rightarrow \begin{cases} A^1(x, y, z) = A_x(f(\lambda), g(\lambda), h(\lambda)) \equiv F(\lambda) \\ A^2(x, y, z) = A_y(f(\lambda), g(\lambda), h(\lambda)) \equiv G(\lambda) \\ A^3(x, y, z) = A_z(f(\lambda), g(\lambda), h(\lambda)) \equiv H(\lambda) \end{cases}$

Integrales de línea $\int_C \mathbf{A} \cdot d\mathbf{r}$ y $\int_C \mathbf{A} \times d\mathbf{r}$

- La segunda familia de integrales de línea otro escalar: $\int_C \mathbf{A} \cdot d\mathbf{r}$. Otra vez en coordenadas cartesianas resulta $\int_C \mathbf{A} \cdot d\mathbf{r} = \int_C [A_x(x, y, z)\mathbf{i} + A_y(x, y, z)\mathbf{j} + A_z(x, y, z)\mathbf{k}] \cdot [dx\mathbf{i} + dy\mathbf{j} + dz\mathbf{k}] \Rightarrow$
 $\int_C \mathbf{A} \cdot d\mathbf{r} = \int_C A_x(x, y, z)dx + \int_C A_y(x, y, z)dy + \int_C A_z(x, y, z)dz.$
- Cuando el contorno cerrado, tenemos $\oint_C \mathbf{A} \cdot d\mathbf{r}$, la *circulación* del campo vectorial \mathbf{A} a lo largo del contorno C .
- En coordenadas curvilíneas generalizadas $\int_C \mathbf{A} \cdot (d\mathbf{r}) = \int_C \mathbf{A}(\mathbf{r}(q^i)) \cdot \left(\sum_{i=1}^3 h_i \hat{\mathbf{e}}_i dq^i \right)$, resulta que $\int_C \mathbf{A}(\mathbf{r}) \cdot d\mathbf{r} =$
 $\int_C A_{q^1}(q^1, q^2(q^1), q^3(q^1))h_1 dq^1 + \int_C A_{q^2}(q^1(q^2), q^2, q^3(q^2))h_2 dq^2 + \int_C A_{q^3}(q^1(q^3), q^2(q^3), q^3)h_3 dq^3.$
- Algo similar ocurre con las integrales que contienen el producto vectorial. $\int_C \mathbf{A} \times d\mathbf{r}$. En coordenadas cartesianas sería $\int_C \mathbf{A} \times d\mathbf{r} = \int_C [A_x(x, y, z)\mathbf{i} + A_y(x, y, z)\mathbf{j} + A_z(x, y, z)\mathbf{k}] \times [dx\mathbf{i} + dy\mathbf{j} + dz\mathbf{k}]$ y formalmente en coordenadas curvilíneas generalizadas $\int_C \mathbf{A} \times d\mathbf{r} = \left(\int_C A_j dx_k \epsilon^{ijk} \right) |\mathbf{e}_k\rangle \equiv \left(\int_C \tilde{A}_j h_i dq^i \tilde{\epsilon}^{ijk} \right) |\tilde{\mathbf{e}}_k\rangle$
- Podemos construir un sistema de coordenadas adaptado a la representación paramétrica de una curva y entonces las integrales de línea se especifican a través del parámetro. Si el conjunto de coordenadas es el cartesiano $x = f(\lambda)$, $y = g(\lambda)$ y $z = h(\lambda)$. Las componentes del vector desplazamiento, para el $d\mathbf{r}$ serán $dx = f'(\lambda)d\lambda$, $dy = g'(\lambda)d\lambda$ y $dz = h'(\lambda)d\lambda$, mientras que las componentes del campo vectorial $\mathbf{A}(x^i) \Rightarrow \begin{cases} A^1(x, y, z) = A_x(f(\lambda), g(\lambda), h(\lambda)) \equiv F(\lambda) \\ A^2(x, y, z) = A_y(f(\lambda), g(\lambda), h(\lambda)) \equiv G(\lambda) \\ A^3(x, y, z) = A_z(f(\lambda), g(\lambda), h(\lambda)) \equiv H(\lambda) \end{cases}$
- por lo tanto: $\int_C \mathbf{A} \cdot d\mathbf{r} = \int_C A_x dx + A_y dy + A_z dz = \int_{\lambda_1}^{\lambda_2} [F(\lambda)f'(\lambda) + G(\lambda)g'(\lambda) + H(\lambda)h'(\lambda)] d\lambda$

- Ahora las integrales de superficie, son $\int_S \phi \, d\mathbf{S}$, $\int_S \mathbf{A} \cdot d\mathbf{S}$ y $\int_S \mathbf{A} \times d\mathbf{S}$.

- Ahora las integrales de superficie, son $\int_S \phi \, d\mathbf{S}$, $\int_S \mathbf{A} \cdot d\mathbf{S}$ y $\int_S \mathbf{A} \times d\mathbf{S}$.
- El flujo de un campo vectorial, es
$$\iint_S \mathbf{A} \cdot d\mathbf{S} \equiv \iint_S \mathbf{A} \cdot \hat{\mathbf{n}}_s \, dS = \iint_S A_{\hat{\mathbf{n}}} \, dS.$$

- Ahora las integrales de superficie, son $\int_S \phi \, d\mathbf{S}$, $\int_S \mathbf{A} \cdot d\mathbf{S}$ y $\int_S \mathbf{A} \times d\mathbf{S}$.
- El flujo de un campo vectorial, es
$$\iint_S \mathbf{A} \cdot d\mathbf{S} \equiv \iint_S \mathbf{A} \cdot \hat{\mathbf{n}}_S \, dS = \iint_S A_{\hat{\mathbf{n}}} \, dS.$$
- los operadores diferenciales:
 - $\text{grad } \phi \equiv \lim_{V \rightarrow 0} \frac{1}{V} \iint_S \phi(q^i) \, d\mathbf{S} \Rightarrow \text{Densidad de Campo}$
 - $\text{div } \mathbf{A} \equiv \lim_{V \rightarrow 0} \frac{1}{V} \iint_S \mathbf{A} \cdot d\mathbf{S} \Rightarrow \text{Densidad Flujo}$
 - $\text{rot } \mathbf{A} \equiv \lim_{V \rightarrow 0} \frac{1}{V} \iint_S d\mathbf{S} \times \mathbf{A} \Rightarrow \text{Densidad Circulación}$

- Ahora las integrales de superficie, son $\int_S \phi \, d\mathbf{S}$, $\int_S \mathbf{A} \cdot d\mathbf{S}$ y $\int_S \mathbf{A} \times d\mathbf{S}$.
- El flujo de un campo vectorial, es
$$\iint_S \mathbf{A} \cdot d\mathbf{S} \equiv \iint_S \mathbf{A} \cdot \hat{\mathbf{n}}_S \, dS = \iint_S A_{\hat{\mathbf{n}}} \, dS.$$
- los operadores diferenciales:
 - $\text{grad } \phi \equiv \lim_{V \rightarrow 0} \frac{1}{V} \iint_S \phi(q^i) \, d\mathbf{S} \Rightarrow \text{Densidad de Campo}$
 - $\text{div } \mathbf{A} \equiv \lim_{V \rightarrow 0} \frac{1}{V} \iint_S \mathbf{A} \cdot d\mathbf{S} \Rightarrow \text{Densidad Flujo}$
 - $\text{rot } \mathbf{A} \equiv \lim_{V \rightarrow 0} \frac{1}{V} \iint_S d\mathbf{S} \times \mathbf{A} \Rightarrow \text{Densidad Circulación}$
- as integrales de volumen $\int_V \phi(\mathbf{r}) \, dV$ y $\int_V \mathbf{A}(\mathbf{r}) \, dV$

- Ahora las integrales de superficie, son $\int_S \phi \, d\mathbf{S}$, $\int_S \mathbf{A} \cdot d\mathbf{S}$ y $\int_S \mathbf{A} \times d\mathbf{S}$.
- El flujo de un campo vectorial, es
$$\iint_S \mathbf{A} \cdot d\mathbf{S} \equiv \iint_S \mathbf{A} \cdot \hat{\mathbf{n}}_S \, dS = \iint_S A_{\hat{\mathbf{n}}} \, dS.$$
- los operadores diferenciales:
 - $\text{grad } \phi \equiv \lim_{V \rightarrow 0} \frac{1}{V} \iint_S \phi(q^i) \, d\mathbf{S} \Rightarrow \text{Densidad de Campo}$
 - $\text{div } \mathbf{A} \equiv \lim_{V \rightarrow 0} \frac{1}{V} \iint_S \mathbf{A} \cdot d\mathbf{S} \Rightarrow \text{Densidad Flujo}$
 - $\text{rot } \mathbf{A} \equiv \lim_{V \rightarrow 0} \frac{1}{V} \iint_S d\mathbf{S} \times \mathbf{A} \Rightarrow \text{Densidad Circulación}$
- as integrales de volumen $\int_V \phi(\mathbf{r}) \, dV$ y $\int_V \mathbf{A}(\mathbf{r}) \, dV$
- Mientras que el segundo tipo de integral es simplemente:
$$\int_V \mathbf{A}(x^i) \, dV = \mathbf{i} \int_V A_x(x^j) \, dV + \mathbf{j} \int_V A_y(x^j) \, dV + \mathbf{k} \int_V A_z(x^j) \, dV.$$

- El Teorema de Gauss es

$$\iint_S \mathbf{A} \cdot d\mathbf{S} \equiv \iint_S \mathbf{A} \cdot \hat{\mathbf{n}}_s dS = \int_V \nabla \cdot \mathbf{A} dV.$$

- El Teorema de Gauss es

$$\iint_S \mathbf{A} \cdot d\mathbf{S} \equiv \iint_S \mathbf{A} \cdot \hat{\mathbf{n}}_S dS = \int_V \nabla \cdot \mathbf{A} dV.$$

- Campo escalar $\phi(x, y, z)$, $\Rightarrow \iint_S \phi(x^i) d\mathbf{S} = \iiint_V \nabla \phi(x^i) dV$
Campo vectorial $\mathbf{B}(x, y, z) \Rightarrow \iint_S d\mathbf{S} \times \mathbf{B}(x^i) = \iiint_V \nabla \times \mathbf{B}(x^i) dV.$

- El Teorema de Gauss es

$$\iint_S \mathbf{A} \cdot d\mathbf{S} \equiv \iint_S \mathbf{A} \cdot \hat{\mathbf{n}}_S dS = \int_V \nabla \cdot \mathbf{A} dV.$$

- Campo escalar $\phi(x, y, z)$, $\Rightarrow \iint_S \phi(x^i) d\mathbf{S} = \iiint_V \nabla \phi(x^i) dV$
Campo vectorial $\mathbf{B}(x, y, z) \Rightarrow \iint_S d\mathbf{S} \times \mathbf{B}(x^i) = \iiint_V \nabla \times \mathbf{B}(x^i) dV.$

- **Teorema de Gauss y campo eléctrico** La aplicación más emblemática del teorema de Gauss la constituye el cálculo de la divergencia del campo eléctrico \mathbf{E} y su relación con las distribuciones de cargas existentes dentro de un volumen dado:

$$\mathbf{E}_i(\mathbf{r}) = \frac{1}{4\pi\epsilon_0} \frac{Q_i}{r_i^2} \mathbf{u}_{r_i} \quad \Rightarrow \quad \iint_{S_i} \mathbf{E}_i \cdot d\mathbf{S}_i = \frac{Q_i}{\epsilon_0} \quad \Leftrightarrow \quad \nabla \cdot \mathbf{E} = \frac{\rho(\mathbf{r})}{\epsilon_0}.$$

-

- **Teorema de Gauss y campo eléctrico** La aplicación más emblemática del teorema de Gauss la constituye el cálculo de la divergencia del campo eléctrico \mathbf{E} y su relación con las distribuciones de cargas existentes dentro de un volumen dado:

Si tenemos un conjunto de cargas discretas distribuidas dentro de la región encerrada por la superficie S , podemos encerrar cada una de las cargas con superficies esféricas S_i . Por lo tanto

$$\iint_S \mathbf{E} \cdot d\mathbf{S} + \sum_i \iint_{S_i} \mathbf{E} \cdot d\mathbf{S}_i = \int_V \nabla \cdot \mathbf{E} dV = 0 \Rightarrow \iint_S \mathbf{E} \cdot d\mathbf{S} = - \sum_i \iint_{S_i} \mathbf{E} \cdot d\mathbf{S}_i .$$



- Hemos definido una superficie con “huecos” alrededor de cada una de las cargas y llegamos a la conclusión que lo que entra sale, $\iint_S \mathbf{E} \cdot d\mathbf{S} = -\sum_i \iint_{S_i} \left(\frac{1}{4\pi\epsilon_0} \frac{Q_i}{r_i^2} \mathbf{u}_{r_i} + \mathbf{E}' \right) \cdot \mathbf{n}_{S_i} dS_i = \sum_i \frac{1}{4\pi\epsilon_0} \frac{Q_i}{r_i^2} \iint_{S_i} dS_i = \frac{\sum_i Q_i}{\epsilon_0} = \frac{Q}{\epsilon_0}$

- El Teorema de Gauss es

$$\iint_S \mathbf{A} \cdot d\mathbf{S} \equiv \iint_S \mathbf{A} \cdot \hat{\mathbf{n}}_S dS = \int_V \nabla \cdot \mathbf{A} dV.$$

- Campo escalar $\phi(x, y, z)$, $\Rightarrow \iint_S \phi(x^i) d\mathbf{S} = \iiint_V \nabla \phi(x^i) dV$
 Campo vectorial $\mathbf{B}(x, y, z) \Rightarrow \iint_S d\mathbf{S} \times \mathbf{B}(x^i) = \iiint_V \nabla \times \mathbf{B}(x^i) dV.$

- Teorema de Gauss y campo eléctrico** La aplicación más emblemática del teorema de Gauss la constituye el cálculo de la divergencia del campo eléctrico \mathbf{E} y su relación con las distribuciones de cargas existentes dentro de un volumen dado:

$$\mathbf{E}_i(\mathbf{r}) = \frac{1}{4\pi\epsilon_0} \frac{Q_i}{r_i^2} \mathbf{u}_{r_i} \Rightarrow \iint_{S_i} \mathbf{E}_i \cdot d\mathbf{S}_i = \frac{Q_i}{\epsilon_0} \Leftrightarrow \nabla \cdot \mathbf{E} = \frac{\rho(\mathbf{r})}{\epsilon_0}.$$

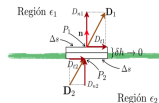
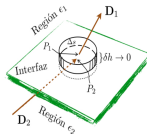
- Si tenemos un conjunto de cargas discretas distribuidas dentro de la región encerrada por la superficie S , podemos encerrar cada una de las cargas con superficies esféricas S_i . Por lo tanto
 $\iint_S \mathbf{E} \cdot d\mathbf{S} + \sum_i \iint_{S_i} \mathbf{E} \cdot d\mathbf{S}_i = \int_V \nabla \cdot \mathbf{E} dV = 0 \Rightarrow \iint_S \mathbf{E} \cdot d\mathbf{S} = - \sum_i \iint_{S_i} \mathbf{E} \cdot d\mathbf{S}_i.$



- Hemos definido una superficie con “huecos” alrededor de cada una de las cargas y llegamos a la conclusión que lo que entra sale, $\iint_S \mathbf{E} \cdot d\mathbf{S} = - \sum_i \iint_{S_i} \left(\frac{1}{4\pi\epsilon_0} \frac{Q_i}{r_i^2} \mathbf{u}_{r_i} + \mathbf{E}' \right) \cdot \mathbf{n}_{S_i} dS_i = \sum_i \frac{1}{4\pi\epsilon_0} \frac{Q_i}{r_i^2} \iint_{S_i} dS_i = \frac{\sum_i Q_i}{\epsilon_0} = \frac{Q}{\epsilon_0}$
- Finalmente encontramos una de las leyes de Maxwell si reescribimos la integral de superficie utilizando la ley de Gauss

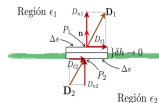
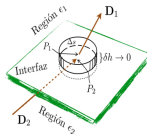
$$\iint_S \mathbf{E} \cdot d\mathbf{S} = \frac{Q}{\epsilon_0} = \frac{1}{\epsilon_0} \int_V \rho(\mathbf{r}) dV \Rightarrow \iint_S \mathbf{E} \cdot d\mathbf{S} = \int_V (\nabla \cdot \mathbf{E}) dV = \frac{1}{\epsilon_0} \int_V \rho(\mathbf{r}) dV \Rightarrow \nabla \cdot \mathbf{E} = \frac{\rho(\mathbf{r})}{\epsilon_0}$$

-
- The diagram shows a yellow-shaded domain S with a dashed boundary. The domain is divided into two regions, R_1 and R_2 , by a dashed line representing the boundary S_2 . The outer boundary of the domain is labeled S_1 . The region S is the union of R_1 and R_2 .



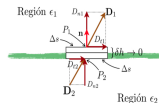
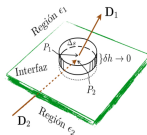
- $$\int_{V_1} (\nabla \cdot \mathbf{A}) dV = \iint_{S_1} \mathbf{A} \cdot d\mathbf{S} + \iint_{\bar{S}} \mathbf{A}_+ \cdot \hat{\mathbf{n}}_{\bar{S}} d\bar{S} + \int_{V_2} (\nabla \cdot \mathbf{A}) dV = \iint_{S_2} \mathbf{A} \cdot d\mathbf{S} - \iint_{\bar{S}} \mathbf{A}_- \cdot \hat{\mathbf{n}}_{\bar{S}} d\bar{S}$$

-
- The diagram shows a domain S (shaded gray) divided into two regions R_1 and R_2 by a boundary S_2 . The outer boundary of R_1 is labeled S_1 . The region S is the union of R_1 and R_2 .



- $$\int_{V_1} (\nabla \cdot \mathbf{A}) \, dV = \iint_{S_1} \mathbf{A} \cdot d\mathbf{S} + \iint_{\bar{S}} \mathbf{A}_+ \cdot \hat{\mathbf{n}}_{\bar{S}} \, d\bar{S} + \int_{V_2} (\nabla \cdot \mathbf{A}) \, dV = \iint_{S_2} \mathbf{A} \cdot d\mathbf{S} - \iint_{\bar{S}} \mathbf{A}_- \cdot \hat{\mathbf{n}}_{\bar{S}} \, d\bar{S}$$

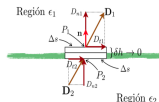
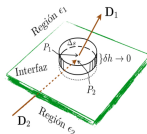
-
- A diagram showing a domain partitioned into two regions, \mathcal{R}_1 and \mathcal{R}_2 , by a dashed line S . The boundary of the domain is labeled S_1 and S_2 .



- $$\int_{V_1} (\nabla \cdot \mathbf{A}) dV = \iint_{S_1} \mathbf{A} \cdot d\mathbf{S} + \iint_{\bar{S}} \mathbf{A}_+ \cdot \hat{\mathbf{n}}_{\bar{S}} d\bar{S} + \int_{V_2} (\nabla \cdot \mathbf{A}) dV = \iint_{S_2} \mathbf{A} \cdot d\mathbf{S} - \iint_{\bar{S}} \mathbf{A}_- \cdot \hat{\mathbf{n}}_{\bar{S}} d\bar{S}$$

- A set of small navigation icons typically found in Beamer presentations, including symbols for back, forward, search, and other slide controls.

-
- The diagram shows a yellow region S divided into two sub-regions R_1 and R_2 by a dashed boundary S_2 . The outer boundary of R_1 is labeled S_1 . The region S is shaded light gray, while R_1 and R_2 are yellow.

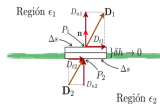
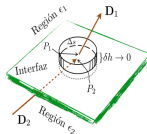


- $$\int_{V_1} (\nabla \cdot \mathbf{A}) dV = \iint_{S_1} \mathbf{A} \cdot d\mathbf{S} + \iint_{\bar{S}} \mathbf{A}_+ \cdot \hat{\mathbf{n}}_{\bar{S}} d\bar{S} + \int_{V_2} (\nabla \cdot \mathbf{A}) dV = \iint_{S_2} \mathbf{A} \cdot d\mathbf{S} - \iint_{\bar{S}} \mathbf{A}_- \cdot \hat{\mathbf{n}}_{\bar{S}} d\bar{S}$$

- Si el campo es discontinuo, la relación que surge de sumar el flujo a través de las dos regiones es

$\int_{V_1+V_2} (\nabla \cdot \mathbf{A}) \, dV = \iint_S \mathbf{A} \cdot d\mathbf{S} - \iint_{\bar{S}} (\mathbf{A}_2 - \mathbf{A}_1) \cdot \hat{\mathbf{n}}_{\bar{S}} \, d\bar{S}$ con $\hat{\mathbf{n}}_{\bar{S}}$ el vector unitario, normal a la superficie \bar{S} y que apunta de $R_1 \rightarrow R_2$.

-
- The diagram shows a domain S (shaded gray) divided into two regions R_1 and R_2 by a boundary S_2 . The outer boundary of R_1 is labeled S_1 . The region S is the union of R_1 and R_2 .



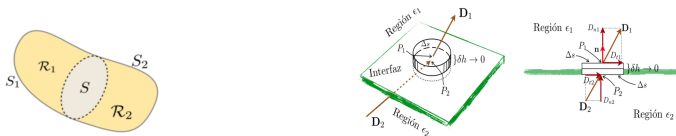
- $$\int_{V_1} (\nabla \cdot \mathbf{A}) \, dV = \iint_{S_1} \mathbf{A} \cdot d\mathbf{S} + \iint_{\bar{S}} \mathbf{A}_+ \cdot \hat{\mathbf{n}}_{\bar{S}} \, d\bar{S} + \int_{V_2} (\nabla \cdot \mathbf{A}) \, dV = \iint_{S_2} \mathbf{A} \cdot d\mathbf{S} - \iint_{\bar{S}} \mathbf{A}_- \cdot \hat{\mathbf{n}}_{\bar{S}} \, d\bar{S}$$

- Si el campo es discontinuo, la relación que surge de sumar el flujo a través de las dos regiones es

$\int_{V_1+V_2} (\nabla \cdot \mathbf{A}) \, dV = \iint_S \mathbf{A} \cdot d\mathbf{S} - \iint_{\bar{S}} (\mathbf{A}_2 - \mathbf{A}_1) \cdot \hat{\mathbf{n}}_{\bar{S}} \, d\bar{S}$ con $\hat{\mathbf{n}}_{\bar{S}}$ el vector unitario, normal a la superficie \bar{S} y que apunta de $R_1 \rightarrow R_2$.

- El ejemplo típico para la aplicación de las anteriores consideraciones es la aplicación de las ecuaciones de Maxwell en el caso del vector desplazamiento eléctrico \mathbf{D} , a través de una superficie \tilde{S} , que separa dos medios. La ecuación de Maxwell correspondiente será $\nabla \cdot \mathbf{E} = \frac{\rho(\mathbf{r})}{\epsilon_0} \Rightarrow \nabla \cdot \mathbf{D} = \rho(\mathbf{r}) \Rightarrow (\mathbf{D}_2 - \mathbf{D}_1) \cdot \hat{\mathbf{n}}_{\tilde{S}} = \sigma$, con $\mathbf{D} = \epsilon_0 \mathbf{E}$.

- Supongamos una región R delimitada por una superficie S , y una superficie \bar{S} , separa dos subregiones R_1 y R_2 a través de la cual un campo vectorial, $\mathbf{A} = \mathbf{A}(x, y, z)$, es discontinuo



- Entonces el teorema de Gauss para cada región queda expresado como

$$\int_{V_1} (\nabla \cdot \mathbf{A}) dV = \iint_{S_1} \mathbf{A} \cdot d\mathbf{S} + \iint_{\bar{S}} \mathbf{A}_+ \cdot \hat{\mathbf{n}}_{\bar{S}} d\bar{S} \text{ y } \int_{V_2} (\nabla \cdot \mathbf{A}) dV = \iint_{S_2} \mathbf{A} \cdot d\mathbf{S} - \iint_{\bar{S}} \mathbf{A}_- \cdot \hat{\mathbf{n}}_{\bar{S}} d\bar{S}$$

- Si consideramos el teorema de Gauss en toda la región $\int_{V_1+V_2} (\nabla \cdot \mathbf{A}) dV \equiv \int_{V_1} (\nabla \cdot \mathbf{A}) dV + \int_{V_2} (\nabla \cdot \mathbf{A}) dV$.
- Si el campo es discontinuo, la relación que surge de sumar el flujo a través de las dos regiones es

$$\int_{V_1+V_2} (\nabla \cdot \mathbf{A}) dV = \iint_S \mathbf{A} \cdot d\mathbf{S} - \iint_{\bar{S}} (\mathbf{A}_2 - \mathbf{A}_1) \cdot \hat{\mathbf{n}}_{\bar{S}} d\bar{S} \text{ con } \hat{\mathbf{n}}_{\bar{S}} \text{ el vector unitario, normal a la superficie } \bar{S} \text{ y que apunta de } R_1 \rightarrow R_2.$$

- El ejemplo típico para la aplicación de las anteriores consideraciones es la aplicación de las ecuaciones de Maxwell en el caso del vector desplazamiento eléctrico \mathbf{D} , a través de una superficie \bar{S} , que separa dos medios. La ecuación de Maxwell correspondiente será $\nabla \cdot \mathbf{E} = \frac{\rho(r)}{\epsilon_0} \Rightarrow \nabla \cdot \mathbf{D} = \rho(r) \Rightarrow (\mathbf{D}_2 - \mathbf{D}_1) \cdot \hat{\mathbf{n}}_{\bar{S}} = \sigma$, con $\mathbf{D} = \epsilon_0 \mathbf{E}$.

- Así $(\nabla \cdot \mathbf{D})dV = \mathbf{D}_2 \cdot \Delta \mathbf{S}_2 - \mathbf{D}_1 \cdot \Delta \mathbf{S}_1 \Rightarrow \rho(r)(\Delta S_2 \delta h) = (\mathbf{D}_2 - \mathbf{D}_1) \cdot \hat{\mathbf{n}}_{S_2} \Delta S_2 \Rightarrow \rho(r)\delta h \equiv \sigma = (\mathbf{D}_2 - \mathbf{D}_1) \cdot \hat{\mathbf{n}}_{S_2}$

- El teorema de Stokes relaciona una integral de línea escalar de un campo vectorial, $\mathbf{A} = \mathbf{A}(x, y, z)$, a lo largo de una curva cerrada C , con una integral del rotacional del campo sobre la superficie encerrada por la misma curva C .

$$\oint \mathbf{A} \cdot d\mathbf{r} = \iint_S (\nabla \times \mathbf{A}) \cdot d\mathbf{S} \equiv \iint_S (\nabla \times \mathbf{A}) \cdot \hat{\mathbf{n}}_S dS.$$

- El teorema de Stokes relaciona una integral de línea escalar de un campo vectorial, $\mathbf{A} = \mathbf{A}(x, y, z)$, a lo largo de una curva cerrada C , con una integral del rotacional del campo sobre la superficie encerrada por la misma curva C .

$$\oint_C \mathbf{A} \cdot d\mathbf{r} = \iint_S (\nabla \times \mathbf{A}) \cdot d\mathbf{S} \equiv \iint_S (\nabla \times \mathbf{A}) \cdot \hat{\mathbf{n}}_S dS.$$

- Teorema de Stokes y Campo Magnético.** La ley de Ampere para una densidad de corriente: $\oint_C \mathbf{B} \cdot d\mathbf{r} = \mu_0 \int_S \mathbf{J} \cdot d\mathbf{S}$.

- El teorema de Stokes relaciona una integral de línea escalar de un campo vectorial, $\mathbf{A} = \mathbf{A}(x, y, z)$, a lo largo de una curva cerrada C , con una integral del rotacional del campo sobre la superficie encerrada por la misma curva C .

$$\oint \mathbf{A} \cdot d\mathbf{r} = \iint_S (\nabla \times \mathbf{A}) \cdot d\mathbf{S} \equiv \iint_S (\nabla \times \mathbf{A}) \cdot \hat{n}_S dS.$$

- Teorema de Stokes y Campo Magnético.** La ley de Ampere para una densidad de corriente: $\oint_C \mathbf{B} \cdot d\mathbf{r} = \mu_0 \int_S \mathbf{J} \cdot d\mathbf{S}$.
- Al aplicar el teorema de Stokes a la integral de superficie
 $\oint_C \mathbf{B} \cdot d\mathbf{r} = \int_S \nabla \times \mathbf{B} \cdot d\mathbf{S} = \mu_0 \int_S \mathbf{J} \cdot d\mathbf{S} \Rightarrow \int_S [\nabla \times \mathbf{B} - \mu_0 \mathbf{J}] \cdot d\mathbf{S} = 0$, para cualquier superficie S .

La ecuación anterior no es más que una de las ecuaciones de Maxwell: $\nabla \times \mathbf{B} - \mu_0 \mathbf{J} = \mathbf{0} \Rightarrow \nabla \times \mathbf{B} = \mu_0 \mathbf{J}$.

- El teorema de Stokes relaciona una integral de línea escalar de un campo vectorial, $\mathbf{A} = \mathbf{A}(x, y, z)$, a lo largo de una curva cerrada C , con una integral del rotacional del campo sobre la superficie encerrada por la misma curva C .

$$\oint \mathbf{A} \cdot d\mathbf{r} = \iint_S (\nabla \times \mathbf{A}) \cdot d\mathbf{S} \equiv \iint_S (\nabla \times \mathbf{A}) \cdot \hat{n}_S dS.$$

- Teorema de Stokes y Campo Magnético.** La ley de Ampere para una densidad de corriente: $\oint_C \mathbf{B} \cdot d\mathbf{r} = \mu_0 \int_S \mathbf{J} \cdot d\mathbf{S}$.

- Al aplicar el teorema de Stokes a la integral de superficie

$$\oint_C \mathbf{B} \cdot d\mathbf{r} = \int_S \nabla \times \mathbf{B} \cdot d\mathbf{S} = \mu_0 \int_S \mathbf{J} \cdot d\mathbf{S} \Rightarrow \int_S [\nabla \times \mathbf{B} - \mu_0 \mathbf{J}] \cdot d\mathbf{S} = 0, \text{ para cualquier superficie } S.$$

La ecuación anterior no es más que una de las ecuaciones de Maxwell: $\nabla \times \mathbf{B} - \mu_0 \mathbf{J} = \mathbf{0} \Rightarrow \nabla \times \mathbf{B} = \mu_0 \mathbf{J}$.

- Versiones del Teorema de Stokes: Campo escalar $\oint \phi(x, y, z) d\mathbf{r} = \iint_S d\mathbf{S} \times \nabla \phi(x, y, z)$

$$\oint d\mathbf{r} \times \mathbf{B}(x, y, z) = \iint_S (d\mathbf{S} \times \nabla) \times \mathbf{B}(x, y, z)$$

- El teorema de Stokes relaciona una integral de línea escalar de un campo vectorial, $\mathbf{A} = \mathbf{A}(x, y, z)$, a lo largo de una curva cerrada C , con una integral del rotacional del campo sobre la superficie encerrada por la misma curva C .
$$\oint_C \mathbf{A} \cdot d\mathbf{r} = \iint_S (\nabla \times \mathbf{A}) \cdot d\mathbf{S} \equiv \iint_S (\nabla \times \mathbf{A}) \cdot \hat{n}_S dS.$$
- Teorema de Stokes y Campo Magnético.** La ley de Ampere para una densidad de corriente: $\oint_C \mathbf{B} \cdot d\mathbf{r} = \mu_0 \int_S \mathbf{J} \cdot d\mathbf{S}$.
- Al aplicar el teorema de Stokes a la integral de superficie
$$\oint_C \mathbf{B} \cdot d\mathbf{r} = \int_S \nabla \times \mathbf{B} \cdot d\mathbf{S} = \mu_0 \int_S \mathbf{J} \cdot d\mathbf{S} \Rightarrow \int_S [\nabla \times \mathbf{B} - \mu_0 \mathbf{J}] \cdot d\mathbf{S} = 0, \text{ para cualquier superficie } S.$$
La ecuación anterior no es más que una de las ecuaciones de Maxwell: $\nabla \times \mathbf{B} - \mu_0 \mathbf{J} = 0 \Rightarrow \nabla \times \mathbf{B} = \mu_0 \mathbf{J}$.
- Versiones del Teorema de Stokes: Campo escalar $\oint \phi(x, y, z) d\mathbf{r} = \iint_S d\mathbf{S} \times \nabla \phi(x, y, z)$
$$\oint d\mathbf{r} \times \mathbf{B}(x, y, z) = \iint_S (d\mathbf{S} \times \nabla) \times \mathbf{B}(x, y, z)$$
- Teorema de Stokes y fuerzas conservativas.** El teorema de Stokes permite identificar campos vectoriales irrotacionales con integrales de línea independientes de la trayectoria: $\nabla \times \mathbf{F}(x, y, z) = 0 \Rightarrow \iint_S (\nabla \times \mathbf{A}) \cdot d\mathbf{S} = \oint_C \mathbf{A} \cdot d\mathbf{r} = 0$

- El teorema de Stokes relaciona una integral de línea escalar de un campo vectorial, $\mathbf{A} = \mathbf{A}(x, y, z)$, a lo largo de una curva cerrada C , con una integral del rotacional del campo sobre la superficie encerrada por la misma curva C .

$$\oint_C \mathbf{A} \cdot d\mathbf{r} = \iint_S (\nabla \times \mathbf{A}) \cdot d\mathbf{S} \equiv \iint_S (\nabla \times \mathbf{A}) \cdot \hat{n}_S dS.$$

- Teorema de Stokes y Campo Magnético.** La ley de Ampere para una densidad de corriente: $\oint_C \mathbf{B} \cdot d\mathbf{r} = \mu_0 \int_S \mathbf{J} \cdot d\mathbf{S}$.
- Al aplicar el teorema de Stokes a la integral de superficie $\oint_C \mathbf{B} \cdot d\mathbf{r} = \int_S \nabla \times \mathbf{B} \cdot d\mathbf{S} = \mu_0 \int_S \mathbf{J} \cdot d\mathbf{S} \Rightarrow \int_S [\nabla \times \mathbf{B} - \mu_0 \mathbf{J}] \cdot d\mathbf{S} = 0$, para cualquier superficie S .

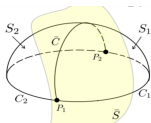
La ecuación anterior no es más que una de las ecuaciones de Maxwell: $\nabla \times \mathbf{B} - \mu_0 \mathbf{J} = 0 \Rightarrow \nabla \times \mathbf{B} = \mu_0 \mathbf{J}$.

- Versiones del Teorema de Stokes: Campo escalar $\oint_C \phi(x, y, z) d\mathbf{r} = \iint_S d\mathbf{S} \times \nabla \phi(x, y, z)$

$$\oint_C d\mathbf{r} \times \mathbf{B}(x, y, z) = \iint_S (d\mathbf{S} \times \nabla) \times \mathbf{B}(x, y, z)$$

- Teorema de Stokes y fuerzas conservativas.** El teorema de Stokes permite identificar campos vectoriales irrotacionales con integrales de línea independientes de la trayectoria: $\nabla \times \mathbf{F}(x, y, z) = 0 \Rightarrow \iint_S (\nabla \times \mathbf{A}) \cdot d\mathbf{S} = \oint_C \mathbf{A} \cdot d\mathbf{r} = 0$
- Un campo vectorial $\mathbf{A}(x, y, z)$ que es discontinuo sobre una superficie \bar{S} , que divide R en dos subregiones R_1 y R_2

$$\iint_{S_1} (\nabla \times \mathbf{A}) \cdot d\mathbf{S} + \iint_{S_2} (\nabla \times \mathbf{A}) \cdot d\mathbf{S} = \oint_C \mathbf{A} \cdot d\mathbf{r} + \int_{\text{curva } \bar{C} \text{ en } S_1}^{P_1} \mathbf{A} \cdot d\mathbf{r} + \int_{\text{curva } \bar{C} \text{ en } S_2}^{P_2} \mathbf{A} \cdot d\mathbf{r},$$



Entonces $\oint_C \mathbf{A} \cdot d\mathbf{r} = \iint_S (\nabla \times \mathbf{A}) \cdot d\mathbf{S} - \int_{P_1}^{P_2} (\mathbf{A}|_{S_2} - \mathbf{A}|_{S_1}) \cdot d\mathbf{r}$

- LZZZZZZZ